——— НЕОРГАНИЧЕСКИЕ МАТЕРИАЛЫ И НАНОМАТЕРИАЛЫ **——**

УДК 546

ПОЛУЧЕНИЕ ТОНКИХ ПЛЕНОК V_2O_5 С ИСПОЛЬЗОВАНИЕМ ГЕТЕРОЛИГАНДНЫХКОМПЛЕКСОВ ВАНАДИЯ И ИХ ЭЛЕКТРОХРОМНЫЕ СВОЙСТВА

© 2024 г. Ф. Ю. Горобцов^{a, *, Н. П. Симоненко a , Т. Л. Симоненко a , Е. П. Симоненко a}

^aИнститут общей и неорганической химии им. Н.С. Курнакова РАН, Ленинский пр-т, 31, Москва, 119991 Россия *e-mail: phigoros@gmail.com

Поступила в редакцию 18.03.2024 г. После доработки 27.05.2024 г. Принята к публикации 28.05.2024 г.

Исследованы микроструктурные особенности, фазовый состав и электрохромные свойства пленки V_2O_5 , сформированной методом вращения подложки с использованием алкоксоацетилацетоната ванадила в качестве прекурсора. Полученный материал содержит значительное количество ионов V^{4+} , что обнаруживается как по наличию соответствующих мод в спектрах комбинационного рассеяния, так и по наличию фазы V_7O_{16} . В результате материал обладает анодным электрохромизмом — окрашивается при окислении, изменяя цвет с бледно-синего на значительно менее прозрачный оранжево-желтый. Оптический контраст при этом достигает 30% на длине волны 400 нм, а эффективность окрашивания составляет 65.26 см²/Кл. Результаты исследования демонстрируют перспективность применения материалов на основе V_2O_5 , полученного с использованием гетеролигандных гидролитически активных комплексов ванадила, в качестве функциональных компонентов электрохромных устройств.

Ключевые слова: оксид ванадия, пентаоксид ванадия, электрохромизм, алкоксоацетилацетонат, электрохромные материалы

DOI: 10.31857/S0044457X24100152, **EDN:** JHQAEC

введение

В настоящее время большое внимание исследователей привлекают электрохромные материалы, способные изменять свои оптические свойства, такие как пропускание в видимом диапазоне спектра, под действием электрического тока. Это связано с большим потенциалом использования указанных материалов в различных "умных" устройствах, например окнах, которые могли бы программируемо менять необходимые свойства. "Умные" окна очень перспективны для регуляции обмена теплом между окружающей средой и помещением [1, 2], что может позволить сэкономить большое количество электроэнергии из-за уменьшения затрат на отопление и кондиционирование зданий. Электрохромные материалы могут применяться также в цветовых фильтрах, светоотражающих и светопропускающих дисплеях и других устройствах [3, 4].

Некоторые классы химических соединений могут выступать в роли электрохромных материалов. Это могут быть проводящие полимеры (например, полианилин) [5—7], виологены

[8, 9], комплексы (например, гексацианоферрат железа, порфирины) [10, 11]. Однако наиболее востребованными являются оксиды переходных металлов, таких как WO_3 , NiO, V_2O_5 [1, 12, 13]. Это обусловлено их стабильностью при долговременном использовании под действием солнечного света и УФ-излучения, высокой спектральной чистотой света, термостабильностью (в отличие от органических молекул), изменением прозрачности не только в видимом, но и в ближнем ИК-диапазоне электромагнитного излучения, высоким оптическим контрастом между окрашенным и обесцвеченным (более прозрачным) состояниями.

Большинство оксидов переходных металлов, проявляющих электрохромизм, окрашиваются при восстановлении — это катодные электрохромные материалы. Существуют также анодные материалы, которые при восстановлении становятся более прозрачными. Оксид ванадия(V) привлекает большой интерес исследователей благодаря уникальному свойству проявлять как катодный, так и анодный электрохромизм [1,

14, 15]. Как правило, V_2O_5 обладает катодным электрохромизмом, и только добавление допанта способствует росту числа дефектов в виде ионов V^{4+} , чье окисление и приводит к анодному электрохромизму [14, 15]. Однако, на наш взгляд, интересной задачей является получение материалов на основе V_2O_5 , не допированного какими-либо другими элементами, которые проявляли бы анодный электрохромизм. Известно, что в значительной степени на свойства конечного материала, его структуру и наличие дефектов влияют метод его синтеза, а также химический состав и строение прекурсора. В случае химических методов синтеза V2O5 прекурсорами часто являются алкоксиды [16, 17], соли ванадия [18, 19], ацетилацетонат ванадила [20]. Нам кажется очень перспективным применение алкоксоацетилацетоната ванадила в качестве гетеролигандного прекурсора [21, 22], так как его использование возможно в ряде различных методов нанесения пленок, включая вращение и окунание подложки, при его гидролизе формируется диоксид ванадия, регулируя условия термообработки которого, можно получать V_2O_5 с различным содержанием ионов V^{4+} , а также, изменяя состав координационной сферы прекурсора, влиять как на дисперсность продукта, так и на содержание в нем дефектов, таких как кислородные вакансии. Таким образом, цель настоящего исследования - применение алкоксоацетилацетоната ванадила для получения пленки V_2O_5 со значительным содержанием V4+, которая бы обладала анодным электрохромизмом.

ЭКСПЕРИМЕНТАЛЬНАЯ ЧАСТЬ

Прекурсор – бутоксиацетилацетонат ванадила — был синтезирован методом частичного деструктивного замещения ацетилацетонатных лигандов при термообработке раствора ацетилацетоната ванадила $[VO(C_5H_7O_2)_3]$ в *н*-бутаноле. Термообработку проводили при температуре масляной бани 115°С. Процесс контролировали с помощью УФ-спектрофотометрии, на основе данных которой рассчитывали долю бутоксильных групп в составе комплексов. По достижении указанного параметра на уровне 83%, что обеспечивало необходимую реакционную способность комплекса в процессах гидролиза и поликонденсации, термообработка была завершена. Полученный раствор прекурсора наносили на предварительно очищенные подложки: стеклянную и стеклянную с подслоем оксида индия-олова (ІТО). Пленки формировали методом вращения подложки. Раствор прекурсора наносили на вращающиеся подложки, спустя 2 мин вращение останавливали на время сушки нанесенного слоя (2 мин), после чего начинали цикл нанесения следующего слоя. Так, на стеклянную подложку было нанесено 17 слоев, а на подложку со слоем ITO -10. В результате формировались пленки, которые сначала имели оранжево-желтый цвет, как и раствор прекурсора, но при хранении на воздухе приобретали зеленый оттенок. Далее полученные образцы прокаливали на воздухе при 400°C (время выдержки 2 ч, скорость нагрева 6 град/мин). В результате такой термообработки пленки приобретали желто-оранжевый оттенок. Пленку на стеклянной подложке использовали для изучения фазового состава, а на подложке с ІТО – для исследования микроструктуры и электрохромных свойств материала.

KP-спектры пленки стеклянной подложки до и после нанесения оксидной пленки записывали на спектрометре SOL Instruments Confotec NR500 (длина волны лазера 532 нм, решетка 600/500).

ИК-спектры в режиме диффузного отражения для пленки V_2O_5 и чистой стеклянной подложки регистрировали на ИК-Фурье-спектрометре ИнфраЛЮМ ФТ-08 (время накопления сигнала 60 с, разрешение 1 см⁻¹).

Микроструктуру пленки V_2O_5 исследовали с помощью растровой электронной (**PЭM**) и атомно-силовой микроскопии (**ACM**). РЭМ выполняли на приборе TESCAN AMBER GMH (ускоряющее напряжение 2 кВ, сила тока 200 пА, фокусное расстояние 5 мм); ACM — на микроскопе NT-MDT Solver PRO-M с использованием зондов ETALON HA-HR (радиус кривизны кончика <35 нм, резонансная частота 215 кГц).

Электрохромные свойства измеряли с помощью двухэлектродной ячейки, в которой рабочим электродом выступала пленка V_2O_5 на стекле с подслоем ITO, вспомогательным — стеклянная подложка со слоем ITO. Между этими подложками помещали полимерный электролит на основе полиэтиленгликоля, полипропиленкарбоната и перхлората лития. Толщина слоя электролита составляла 1 мм. На время измерений ячейку помещали в спектрофотометр СФ-56 (ОКБ "Спектр") для фиксации изменений пропускания образца в видимом диапазоне, а элек-

трохимические измерения, подачу напряжения на образец осуществляли с помощью потенциостата-гальваностата P-45X с приставкой для измерения электрохимического импеданса FRA-24M (Electrochemical Instruments).

РЕЗУЛЬТАТЫ И ОБСУЖДЕНИЕ

Характеризация оксидной пленки

В ИК-спектре оксидной пленки на стеклянной подложке (рис. 1) можно различить четыре полосы поглощения с максимумами при 980, 918, 810 и 630 см⁻¹. Согласно [23–26], эти полосы относятся к колебаниям связей V=O (980 см⁻¹), V-O-V (918, 810 см⁻¹), V-O (630 см⁻¹). При этом полоса при 980 см-1 может быть характеристичной и для V_2O_5 [23], но чаще до 1000 см⁻¹ смещены максимумы полос поглощения от колебаний связей V=O в оксидах ванадия с меньшей степенью окисления [24]. В данном случае это может свидетельствовать об образовании оксида ванадия с промежуточной степенью окисления или V_2O_5 с очень высокой долей ионов V^{4+} . На это указывает и наличие полосы поглощения с максимумом при ${\sim}630~{\rm cm}^{-1}$, так как в данной области наблюдается достаточно интенсивное поглощение для VO, [24]. В то же время интенсивная полоса поглощения при 800-810 см-1 является характеристичной именно для V_2O_5 , но не для VO, и V₂O, [24]. Таким образом, результаты ИК-спектроскопии свидетельствуют о формировании V_2O_5 с крайне высоким содержанием ионов V^{4+} .

Результаты КР-спектроскопии (рис. 2) также указывают на формирование системы с большим содержанием ионов V^{4+} и V^{5+} . Так, с одной стороны, присутствуют моды А при 390, 483 и 518 см $^{-1}$ и мода $B_{\rm g}$ при 962 см $^{-1}$, однозначно относящиеся к V_2O_5 . Моды $A_{\rm g}$ относятся к растяжениям связей $V\!-\!O$ и колебанию кристаллических ячеек вдоль параметров a, b и $c \, V_2 \, O_5$, мода B_c относится, вероятно, к комбинации колебаний связей V-О вдоль оси b и растяжению вдоль нее же связей V-O-V на концах пирамид, составляющих слои пентаоксида ванадия [23, 27–29]. В то же время довольно интенсивны моды В при 254 и 329 см $^{-1}$, а также A_g при 214 см $^{-1}$, характеристичные для VO_{5} [30–32]. Кроме того, наблюдаются моды при 885 и 926 см $^{-1}$, которые относятся, согласно [33, 34], к промежуточной между VO_2 и V_2O_5 фазе V_7O_{16} .

Таким образом, на основании результатов ИК- и КР-спектроскопии можно сделать вывод, что материал представляет собой V_2O_5 с наличием промежуточной фазы V_7O_{16} и весьма значительным количеством ионов V^{4+} помимо содержащихся в V_7O_{16} , из-за которых в ИКи КР-спектрах присутствуют интенсивные сигналы, характеристичные для VO_5 .

Микроструктуру пленки исследовали методами РЭМ (рис. 3) и АСМ (рис. 4). Из микрофотографий видно, что пленка имеет островковую

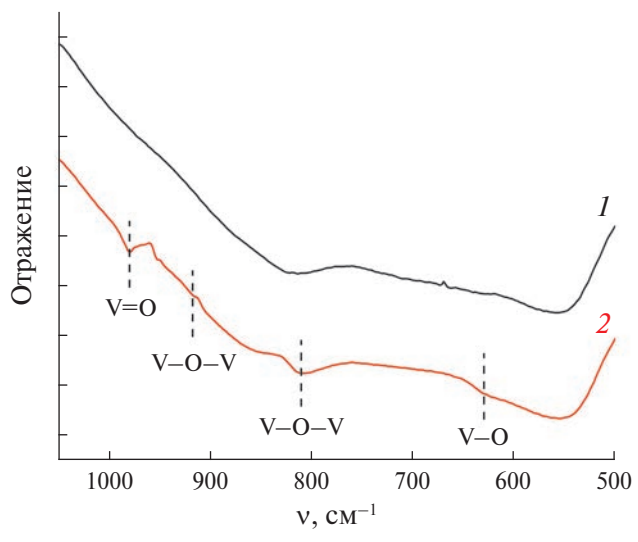


Рис. 1. Результаты ИК-спектроскопии отражения для стеклянной подложки (*I*) и сформированной на ней пленке V_2O_5 (*2*)

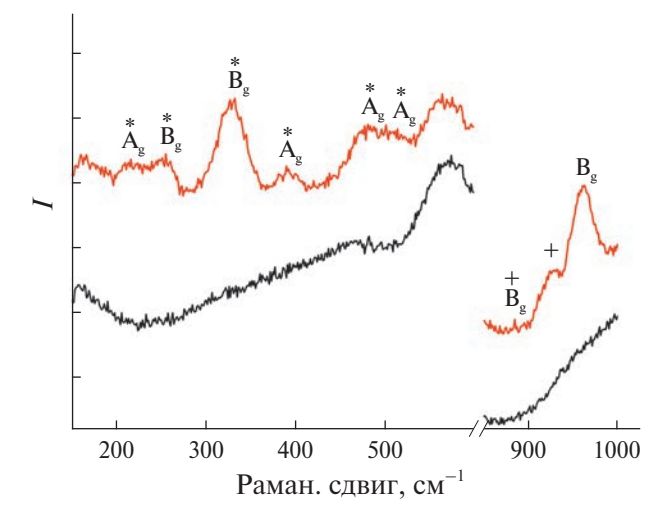


Рис. 2. Результаты КР-спектроскопии сформированной пленки V_2O_5 на стеклянной подложке. Маркером * обозначены моды, характерные для VO_2 , маркером + — моды, характерные для V_7O_{16}

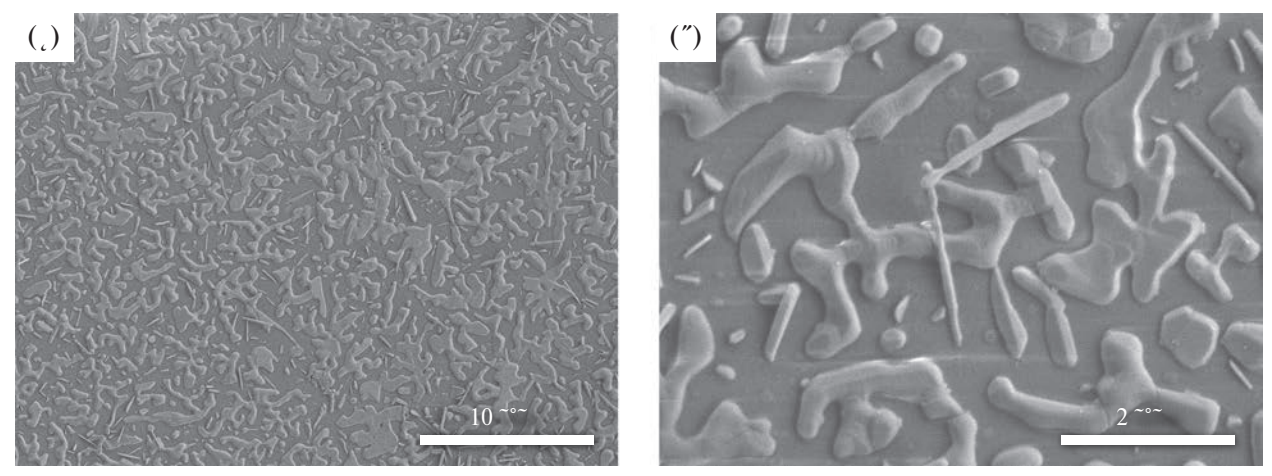


Рис. 3. Микроструктура (РЭМ) сформированной пленки V₂O₅ на стеклянной подложке

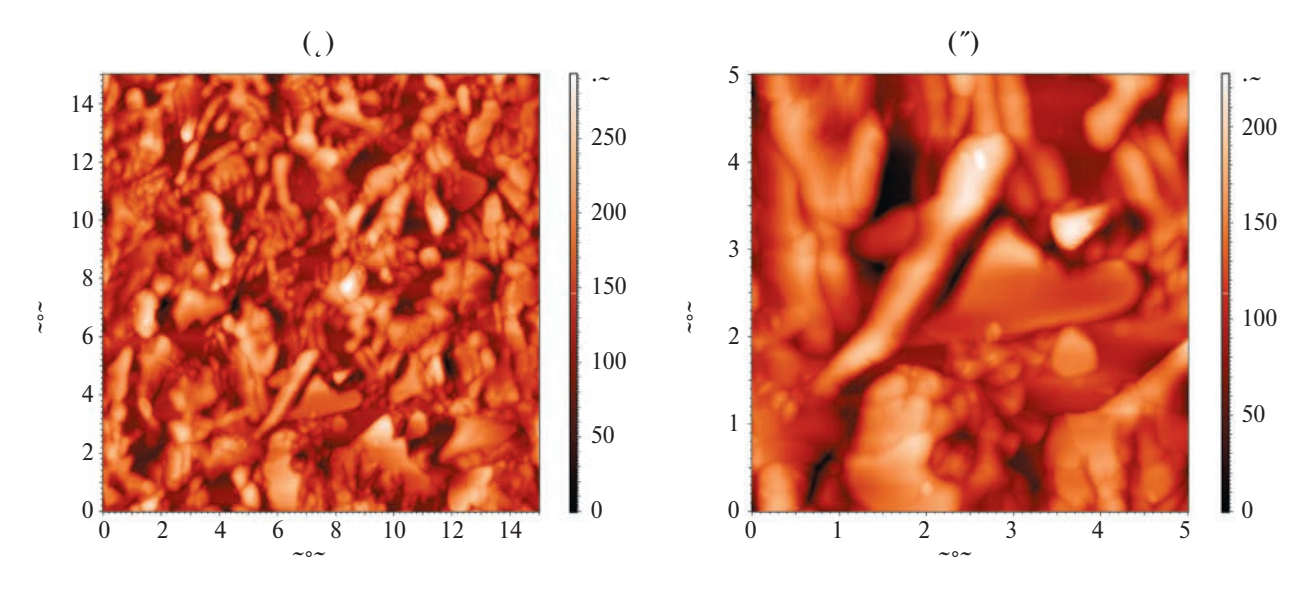


Рис. 4. Микроструктура (ACM) сформированной пленки V_2O_5 на стеклянной подложке

структуру. Сами оксидные кластеры при этом можно разделить на два типа: случайной и вытянутой формы. Островки первого типа в основном имеют протяженность 2-3 мкм и ширину до 1 мкм, а островки второго типа могут иметь длину от 500 нм до 2 мкм, но основная их доля имеет длину от 1 до 2 мкм, а ширина составляет ~ 100 нм. Более мелкие структурные единицы, которые бы составляли островки обоих типов, обнаружить с помощью P9M не удалось.

Результаты АСМ хорошо согласуются с данными РЭМ. На приведенных топографических изображениях также заметна островковая структура пленки с оксидными кластерами двух типов. Размеры островков случайной формы в основном составляют 2—4 мкм в длину и 0.5—1.5 мкм в ширину. Длина вытянутых частиц, по данным

АСМ, находится в диапазоне 0.7-1.7 мкм, ширина -150-250 нм. Толщина структур обоих типов составляет 100-150 нм. Более мелкие структурные единицы, составляющие оксидные кластеры, с помощью АСМ также не обнаружены.

Полученные в итоге исследований методами РЭМ и АСМ данные о микроструктуре пленки, а также результаты ИК- и КР-спектроскопии, позволяют предположить, что в значительной степени островки, особенно имеющие случайную форму, аморфизированы. Островки, имеющие вытянутую форму наподобие волокон и стержней, могут быть значительно менее аморфизированы и в большей степени состоять из пентаоксида ванадия. Такое предположение позволяет сделать вывод о том, что V_2O_5 является слоистым материалом, в силу особен-

ностей кристаллической структуры склонным образовывать частицы и агломераты вытянутой формы, такие как нанолисты, наностержни, нановолокна и наноленты. Вероятно, при нанесении пленки методом вращения подложки в ходе гидролиза бутоксиацетилацетоната ванадила формируются аморфизированные оксидные структуры случайной формы, которые при термообработке консолидируются, в результате формируется фаза в виде стержневидных оксидных кластеров, обладающая более выраженной кристаллической структурой.

Электрохромные свойства полученной оксидной пленки

Как известно, оксид ванадия(V) в основном проявляет катодный электрохромизм, окрашиваясь при восстановлении и изменяя цвет с бледно-желтого на темно-синий [35—37]. В основе данного процесса лежит обратимое восстановление ванадия(V) до ванадия(IV) и обратимая интеркаляция лития в состав оксида, из-за чего, согласно уравнению (1), формируется промежуточная между VO_2 и V_2O_5 оксидная фаза, в которой избыток отрицательного заряда из-за восстановления ванадия компенсируется встроенными ионами лития:

$$V_2O_5$$
 (бледно-желтый) + x Li⁺ =
= $\text{Li}_xV_{2-x}^{\text{V}}V_{x}^{\text{IV}}O_5$ (темно-синий). (1)

Однако, как видно из приведенных на рис. 5а спектров пропускания пленки в восстановленном и окрашенном состояниях, наш образец при восстановлении, наоборот, становится прозрачнее в диапазоне длин волн 300-1000 нм; при этом он изменяет цвет с желто-оранжевого на более прозрачный бледно-синий. Таким образом, полученный нами материал проявляет анодный электрохромизм. Это не противоречит литературным данным. В работе [14] показано, что пентаоксид ванадия может проявлять анодный электрохромизм, становясь менее прозрачным при окислении, за счет окисления присутствующих на поверхности пентаоксида в небольшом количестве ионов V^{4+} , в результате образуются оранжевые супероксиды. Однако Занарини отмечает, что для заметного анодного электрохромизма необходимо допирование V_2O_{ϵ} другими элементами для повышения концентрации катионов V^{4+} . Это подтверждается экспериментальными данными других исследователей [14, 15, 38–43]. В нашем случае допирование

другими элементами не является необходимым, поскольку, как видно из результатов КРи ИК-спектроскопии, уже образуется значительное количество ионов V^{4+} как в виде включений в V_2O_5 , так и в составе промежуточной между диоксидом и пентаоксидом фазы V_7O_{16} . Добиться такого эффекта, вероятно, позволил выбор типа прекурсора и режима термообработки.

При этом следует отметить достаточно высокий оптический контраст для нашего материала, равный $\sim 30\%$ на длине волны 400 нм в ходе записи циклических вольтамперограмм (ЦВА) и стабильно составляющий $\sim 20\%$ на этой длине волны в результате окисления или восстановления при подаче постоянной разницы потенциала. Следует отметить, что в литературе имеется мало данных об оптическом контрасте в случае анодного электрохромизма V_2O_5 . Например, при допировании литием в работе [14] наблюдается контраст на уровне всего 2.5-3%. При допировании молибденом [15] уже можно добиться контраста \sim 35%, однако в этих работах максимально окисленное состояние все-таки прозрачнее, чем восстановленное, в отличие от нашей работы. Кроме того, в нашем случае удалось добиться значительного оптического контраста, вполне сравнимого с работой [15], без допирования оксида ванадия другими элементами.

Описывая электрохромные свойства полученной нами оксидной пленки, необходимо отметить, что процессы окрашивания и обесцвечивания протекают несколько асимметрично. Так, время отклика для процесса окрашивания (за которое достигается 95% от максимального оптического контраста) составляет 8.1 с, а время обесцвечивания – 3.9 с, таким образом, окрашивание происходит в два раза медленнее. Хотя по изменению коэффициента пропускания на длине волны 400 нм при подаче постоянного потенциала (рис. 5 г) эта разница неочевидна. Основная доля оптического контраста как при окрашивании, так и при обесцвечивании достигается за ~ 1 c, а далее лишь незначительно отличается наклон оптических откликов при выходе на плато: в случае окрашивания выход на плато медленнее, угол наклона выше, т.е. проявляется склонность к окрашиванию на несколько большую глубину, чем обесцвечивание. Это наблюдается по небольшому дрейфу пропускания пленки в сторону уменьшения по результатам пяти циклов окисления-вос-

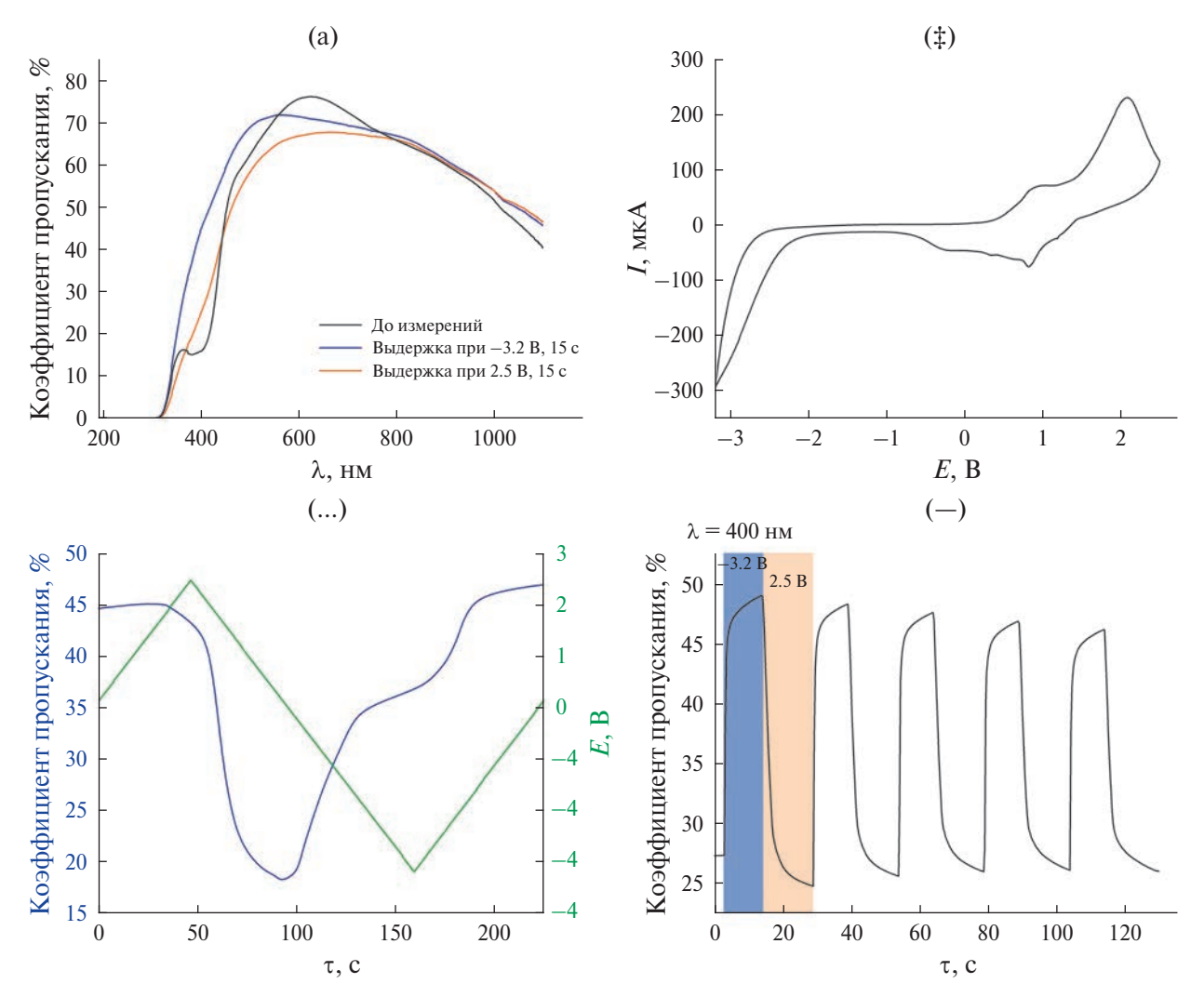


Рис. 5. Результаты измерения электрохромных свойств пленки V_2O_3 : а — спектры пропускания ячейки в видимом и ближнем ИК-диапазонах до начала измерений и после 15 с выдержки при различных значениях потенциала; б — ЦВА, записанная со скоростью изменения потенциала 50 мВ/с; в — изменение коэффициента пропускания электрохромной ячейки на основе пленки V_2O_5 при длине волны 400 нм и развертка потенциала во время записи ЦВА; г — изменение коэффициента пропускания ячейки при длине волны 400 нм и выдержке в течение 15 с при 2.5 В и 10 с при -3.2 В

становления при постоянных потенциалах (рис. 5 г).

На циклической вольтамперограмме (рис. 56) виден ряд пиков как на катодной ветви, так и на анодной. Чтобы понять, какие из них соответствуют процессам окрашивания и обесцвечивания материала, параллельно ЦВА производилась запись изменения коэффициента пропускания пленки на длине волны 400 нм (рис. 5в). Таким образом, можно заметить, что окрашивание начинается на анодной ветви при 1.84 В и завершается только на катодной ветви при снижении потенциала до 0.12 В. Вероятно, именно пик с максимумом при 2.08 В относится к окисле-

нию V^{4+} до V^{5+} . Обесцвечивание протекает в два этапа: первый начинается на катодной ветви при потенциале -0.11 В и замедляется, выходя на плато около -1.9 В. Второй этап обесцвечивания инициируется около максимального отрицательного потенциала (-3 В) и начинает выходить на плато на анодной ветви потенциала при достижении примерно -1 В. Вероятно, первый этап обесцвечивания связан с восстановлением доли V^{5+} до V^{4+} с формированием некой устойчивой промежуточной фазы (широкий пик с максимумом около -0.2 В), после чего на втором этапе (пик, нарастающий и не достигающий максимума при -3.2 В) происходит дальнейшее восстановление большего количества V^{5+} до V^{4+} .

Опираясь на полученные данные, мы провели расчет эффективности окрашивания материала по следующей формуле:

$$\eta = \frac{\lg\left(\frac{T_{\text{обесцв}}}{T_{\text{окр}}}\right)}{O},\tag{2}$$

где η — эффективность окрашивания, $T_{\text{обесцв}}$ коэффициент пропускания на длине волны 400 нм в обесцвеченном состоянии, $T_{\text{окр}}$ коэффициент пропускания на длине волны 400 нм в окрашенном состоянии, Q – плотность заряда (величина внедренного в пленку заряда, деленная на единицу плошади). В итоге эффективность окрашивания в нашем случае составила 65.25 см²/Кл, что превосходит многие другие электрохромные материалы на основе пентаоксида ванадия. Например, в работе [44] эффективность окрашивания составляет $51.7 \text{ cm}^2/\text{K}$ л, а в работе [45] $-4.2 \text{ cm}^2/\text{K}$ л. Такое значение эффективности окрашивания в совокупности с кинетическими параметрами процессов окрашивания/обесцвечивания и значением оптического контраста позволяет сделать вывод о перспективности полученного нами материала для применения в электрохромных устройствах.

ЗАКЛЮЧЕНИЕ

Исследован процесс формирования пленки на основе пентаоксида ванадия методом вращения подложки с использованием бутоксиацетилацетоната ванадила в качестве прекурсора. При помощи методов ИК-спектроскопии отражения и КР-спектроскопии установлено, что материал образован из V₂O₅ с высоким содержанием ионов V⁴⁺ и небольшим количеством примесной фазы V_7O_{16} , являющейся промежуточной между VO_{2} и $V_{2}O_{5}$. Пленка, по данным РЭМ и АСМ, обладает островковой структурой, причем выделяются два типа оксидных кластеров: случайной формы протяженностью порядка 2-4 мкм (0.5-1.5 мкм в поперечном сечении) и вытянутых, напоминающих волокна или стержни. Длина островков последнего типа варьируется в диапазоне 0.7-1.7 мкм, а ширина достигает 250 нм. Полученная пленка проявляет анодные электрохромные свойства и становится прозрачнее при восстановлении. Оптический контраст при длине волны 400 нм достигает 30%, а эффективность окрашивания равна 65.26 см²/Кл. Время обесцвечивания составляет 3.9 с, а окрашивания — 8.1 с. Таким образом, получен материал, проявляющий значительный анодный электрохромизм и перспективный для дальнейшего исследования и применения в электрохромных устройствах.

ФИНАНСИРОВАНИЕ РАБОТЫ

Работа выполнена при финансовой поддержке Российского научного фонда (грант № 23-73-01249), https://rscf.ru/project/23-73-01249/.

КОНФЛИКТ ИНТЕРЕСОВ

Авторы заявляют, что у них нет конфликта интересов.

СПИСОК ЛИТЕРАТУРЫ

- 1. *Granqvist C.G.* // Thin Solid Films. 2014. V. 564. P. 1. https://doi.org/10.1016/j.tsf.2014.02.002
- Mortimer R.J. // Annu. Rev. Mater. Res. 2011. V. 41.
 № 1. P. 241.
 https://doi.org/10.1146/annurev-matsci-062910-100344
- 3. *Mortimer R.J., Dyer A.L., Reynolds J.R.* // Displays. 2006. V. 27. № 1. P. 2. https://doi.org/10.1016/j.displa.2005.03.003
- 4. *Gu C., Jia A.B., Zhang Y.M. et al.* // Chem. Rev. 2022. V. 122. № 18. P. 14679. https://doi.org/10.1021/acs.chemrev.1c01055
- 5. Kobayashi T., Yoneyama H., Tamura H. // J. Electroanal. Chem. 1984. V. 161. P. 419.
- 6. *Tong Z.Q.*, *Lv H.M.*, *Zhao J.P. et al.* // Chin. J. Polymer Sci. (Engl. Ed.). 2014. V. 32. № 8. P. 1040. https://doi.org/10.1007/s10118-014-1483-0
- Zhang Q., Xin B., Linc L. // Adv. Mater. Res. 2013.
 V. 651. P. 77.
 https://doi.org/10.4028/www.scientific.net/
 AMR.651.77
- Striepe L., Baumgartner T. // Chem. A Eur. J. 2017.
 V. 23. № 67. P. 16924. https://doi.org/10.1002/chem.201703348
- 9. *Shah K.W., Wang S.X., Soo D.X.Y. et al.* // Polymers (Basel). 2019. V. 11. № 11. P. 1839. https://doi.org/10.3390/polym11111839
- Lu H.C., Kao S.Y., Chang T.H. et al. // Sol. Energy Mater. Sol. Cells. 2016. V. 147. P. 75. https://doi.org/10.1016/j.solmat.2015.11.044
- 11. *Assis L.M.N.*, *Leones R.*, *Kanicki J. et al.* // J. Electroanal. Chem. 2016. V. 777. P. 33. https://doi.org/10.1016/j.jelechem.2016.05.007

- 12. Costa C., Pinheiro C., Henriques I. et al. // ACS Appl. Mater. Interfaces. 2012. V. 4. № 3. P. 1330. https://doi.org/10.1021/am201606m
- 13. Costa C., Pinheiro C., Henriques I. et al. // ACS Appl. Mater. Interfaces. 2012. V. 4. № 10. P. 5266. https://doi.org/10.1021/am301213b
- 14. *Zanarini S., Di Lupo F., Bedini A. et al.* // J. Mater. Chem. C Mater. 2014. V. 2. № 42. P. 8854. https://doi.org/10.1039/c4tc01123f
- Jin A., Chen W., Zhu Q. et al. // Electrochim. Acta. 2010. V. 55. № 22. P. 6408. https://doi.org/10.1016/j.electacta.2010.06.047
- 16. *Zilberberg K., Trost S., Meyer J. et al.* // Adv. Funct. Mater. 2011. V. 21. № 24. P. 4776. https://doi.org/10.1002/adfm.201101402
- 17. *Chen C.P.*, *Chen Y.D.*, *Chuang S.C.* // Adv. Mater. 2011. V. 23. № 33. P. 3859. https://doi.org/10.1002/adma.201102142
- 18. *Gorobtsov F.Yu., Simonenko T.L., Simonenko N.P. et al.* // Russ. J. Inorg. Chem. 2022. V. 67. № 7. P. 1094. https://doi.org/10.1134/S0036023622070105
- Liu Q., Li Z.F., Liu Y. et al. // Nat. Commun. 2015.
 V. 6. P. 1. https://doi.org/10.1038/ncomms7127
- 20. *Matamura Y., Ikenoue T., Miyake M. et al.* // Sol. Energy Mater. Sol. Cells. 2021. V. 230. P. 111287. https://doi.org/10.1016/j.solmat.2021.111287
- 21. Gorobtsov P.Yu., Mokrushin A.S., Simonenko T. L. et al. // Materials. 2022. V. 15. № 21. P. 7837. https://doi.org/10.3390/ma15217837
- 22. Gorobtsov P.Yu., Simonenko T.L., Simonenko N.P. et al. // Colloids Interfaces. 2023. V. 7. № 1. https://doi.org/10.3390/colloids7010020
- 23. *Clauws P., Broeckx J., Vennik J.* // Phys. Status Solidi (B). 1985. V. 131. № 2. P. 459. https://doi.org/10.1002/pssb.2221310207
- 24. *Botto I.L., Vassallo M.B., Baran E.J. et al.* // Mater. Chem. Phys. 1997. V. 50. P. 267.
- Bodurov G., Ivanova T., Abrashev M. et al. // Phys. Procedia. Elsevier. 2013. P. 127. https://doi.org/10.1016/j.phpro.2013.07.054
- Vedeanu N., Cozar O., Stanescu R. et al. // J. Mol. Struct. 2013. P. 323. https://doi.org/10.1016/j.molstruc.2013.01.078
- 27. Abello L., Husson E., Repelin Y. et al. // Vibrational spectra and valence force field of crystalline. 1983. V. 5.
- 28. *Zhou B., He D.* // J. Raman Spectroscopy. 2008. V. 39. № 10. P. 1475. https://doi.org/10.1002/jrs.2025

- 29. Baddour-Hadjean R., Marzouk A., Pereira-Ramos J.P. // J. Raman Spectroscopy. 2012. V. 43. № 1. P. 153. https://doi.org/10.1002/jrs.2984
- Ureña-Begara F., Crunteanu A., Raskin J.P. // Appl. Surf. Sci. 2017. V. 403. P. 717. https://doi.org/10.1016/j.apsusc.2017.01.160
- 31. Schilbe P. // Physica B. 2002. V. 316-317. P. 600.
- 32. *Ji Y., Zhang Y., Gao M. et al.* // Sci. Rep. 2014. V. 4. https://doi.org/10.1038/srep04854
- 33. *Huotari J., Lappalainen J., Eriksson J. et al.* // J. Alloys Compd. 2016. V. 675. P. 433. https://doi.org/10.1016/j.jallcom.2016.03.116
- 34. *Shvets P., Dikaya O., Maksimova K. et al.* // J. Raman Spectroscopy. 2019. V. 50. № 8. P. 1226. https://doi.org/10.1002/jrs.5616
- 35. *Vernardou D.* // Coatings. 2017. V. 7. № 2. P. 1. https://doi.org/10.3390/coatings7020024
- 36. *Iida Y., Kaneko Y., Kanno Y. //* J. Mater. Process Technol. 2008. V. 197. № 1–3. P. 261. https://doi.org/10.1016/j.jmatprotec.2007.06.032
- 37. *Tong Z., Hao J., Zhang K. et al.* // J. Mater. Chem. C Mater. 2014. V. 2. № 18. P. 3651. https://doi.org/10.1039/c3tc32417f
- 38. *Cholant C.M., Westphal T.M., Balboni R.D.C. et al.* // J. Solid State Electrochem. 2017. V. 21. № 5. P. 1509. https://doi.org/10.1007/s10008-016-3491-1
- 39. *Patil C.E., Tarwal N.L., Jadhav P.R. et al.* // Curr. Appl. Phys. 2014. V. 14. № 3. P. 389. https://doi.org/10.1016/j.cap.2013.12.014
- 40. Panagopoulou M., Vernardou D., Koudoumas E. et al. // Electrochim. Acta. 2019. V. 321. P. 134743. https://doi.org/10.1016/j.electacta.2019.134743
- 41. *Panagopoulou M., Vernardou D., Koudoumas E. et al.* // J. Phys. Chem. C. 2017. V. 121. № 1. P. 70. https://doi.org/10.1021/acs.jpcc.6b09018
- 42. *Mjejri I.*, *Gaudon M.*, *Rougier A.* // Sol. Energy Mater. Sol. Cells. 2019. 2018. V. 198. P. 19. https://doi.org/10.1016/j.solmat.2019.04.010
- 43. *Jin A.*, *Chen W.*, *Zhu Q. et al.* // Thin Solid Films. 2009. V. 517. № 6. P. 2023. https://doi.org/10.1016/j.tsf.2008.10.001
- 44. *Sajitha S., Aparna U., Deb B.* // Adv. Mater. Int. 2019. V. 6. № 21. P. 1. https://doi.org/10.1002/admi.201901038
- 45. *Surca A.K.*, *Dražić G.*, *Mihelčič M.* // Sol. Energy Mater. Sol. Cells. 2019. V. 96. P. 185. https://doi.org/10.1016/j.solmat.2019.03.017

ELECTROCHROMIC PROPERTIES AND PREPARATION OF THIN V_2O_5 FILMS USING HETEROLIGAND COMPLEXES OF VANADYL

P. Y. Gorobtsov^{a,*}, N. P. Simonenko^a, T. L. Simonenko^a, E.P. Simonenko^a

^aKurnakov Institute of General and Inorganic Chemistry of the Russian Academy of Sciences, Moscow, 119991 Russia *e-mail: phigoros@gmail.com

Microstructural features, phase composition, and eletrochromic properties of V_2O_5 film formed by spin-coating using vanadyl alkoxoacetylacetonate as a precursor have been studied. The obtained material possesses a significant amount of V^{4+} ions, which is indicated both by the presence of the corresponding modes on the Raman spectra and the presence of the V_7O_{16} phase. As a result, the material exhibits anodic electrochromism — it colors upon oxidation, changing color from pale blue to a much less transparent orange-yellow. The optical contrast can reach 30% at a wavelength of 400 nm, and the coloration efficiency is 65.26 cm²/C. The results of the study clearly demonstrate the promising application of materials based on V_2O_5 , obtained using heteroligand hydrolytically active vanadyl complexes, as functional components of devices that provide a change in optical properties when an electrical voltage is applied.

Keywords: vanadium oxide, vanadium pentoxide, electrochromism, alkoxoacetylacetonate, electrochromic materials